

Lavine et al.  
TML F15920030323US1

1/13

FIG. 1

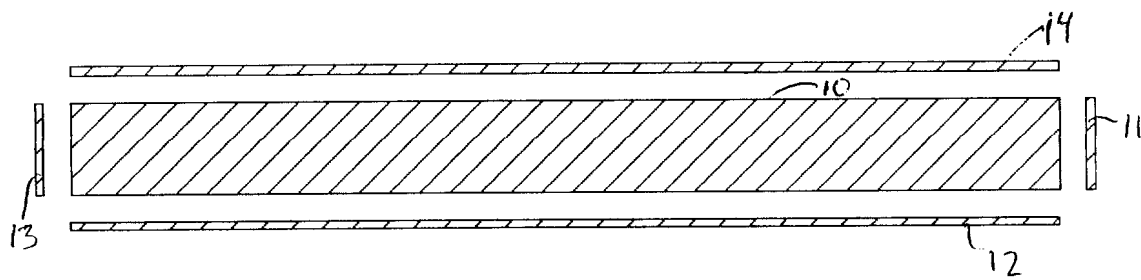
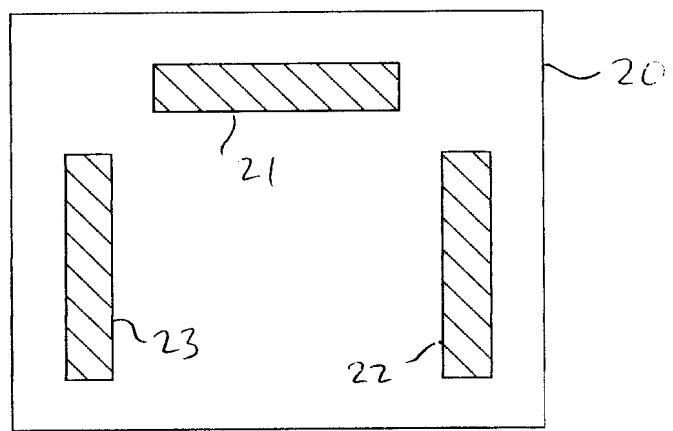


FIG. 2



F15920030323US1

2/13

FIG. 3

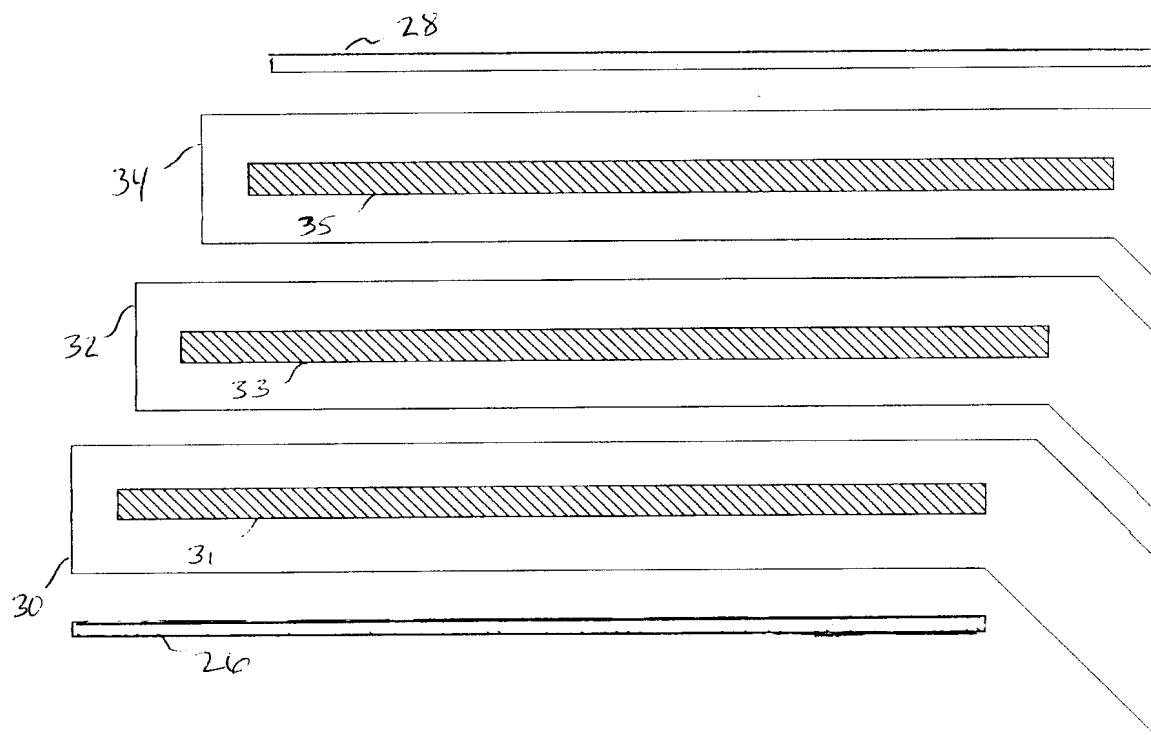
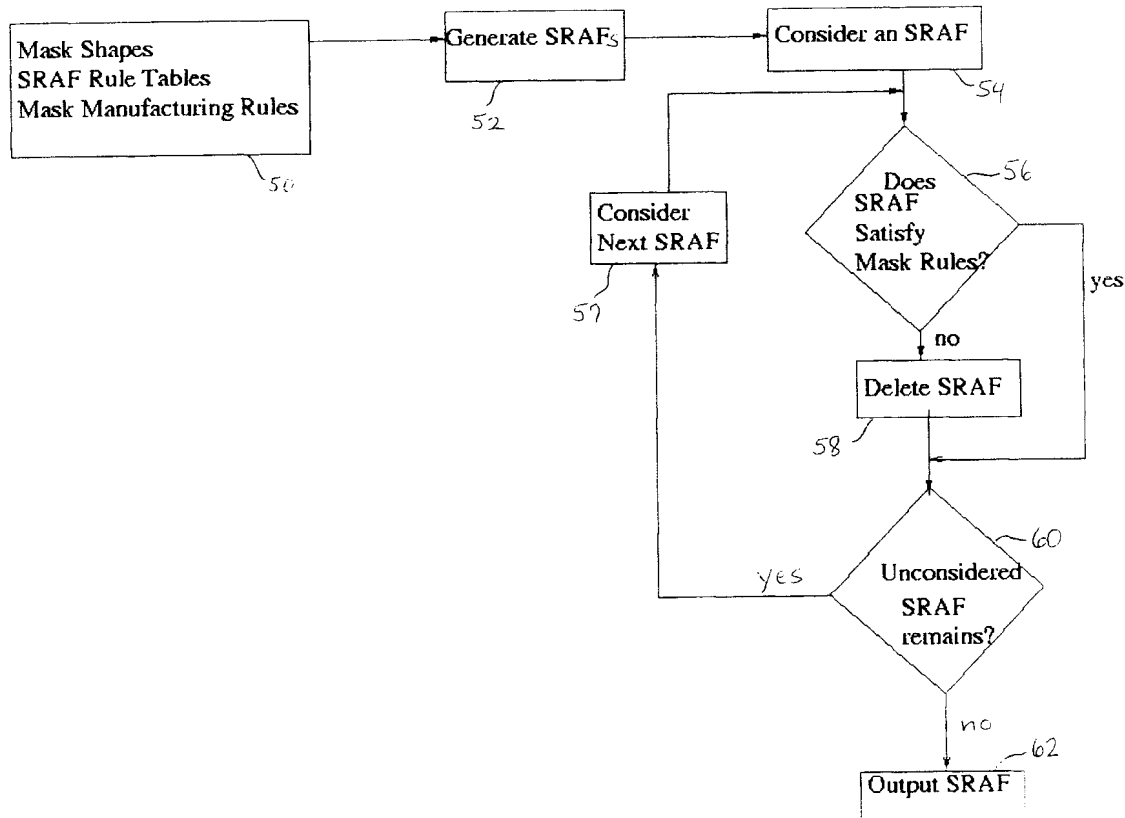


FIG. 4  
PRIOR ART



15920030323US1

3/13

FIG. 5A

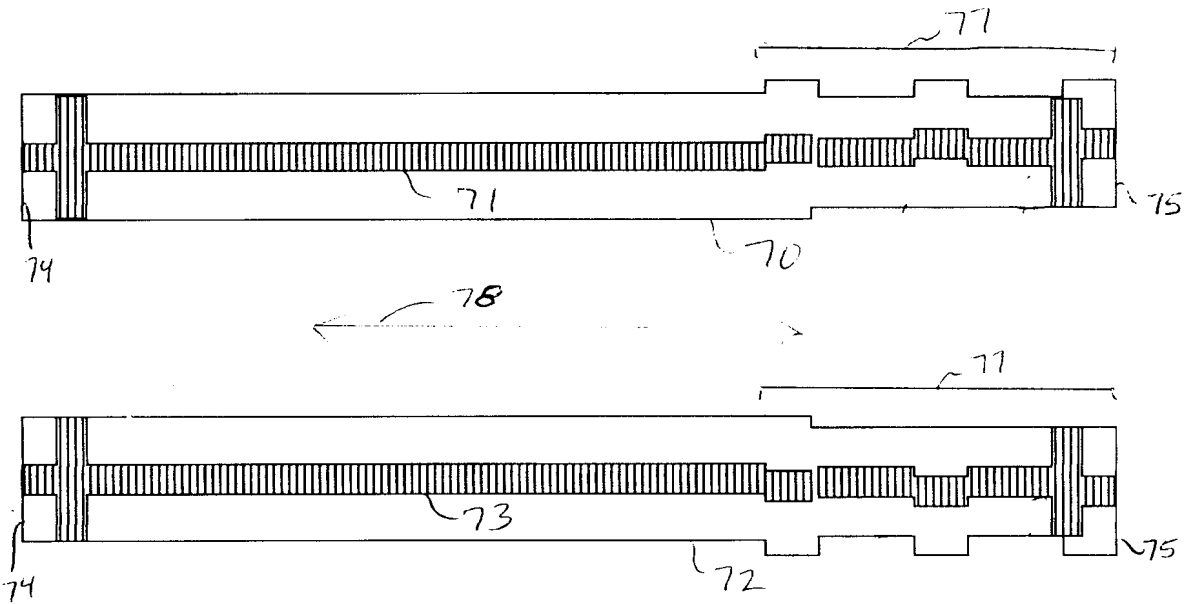
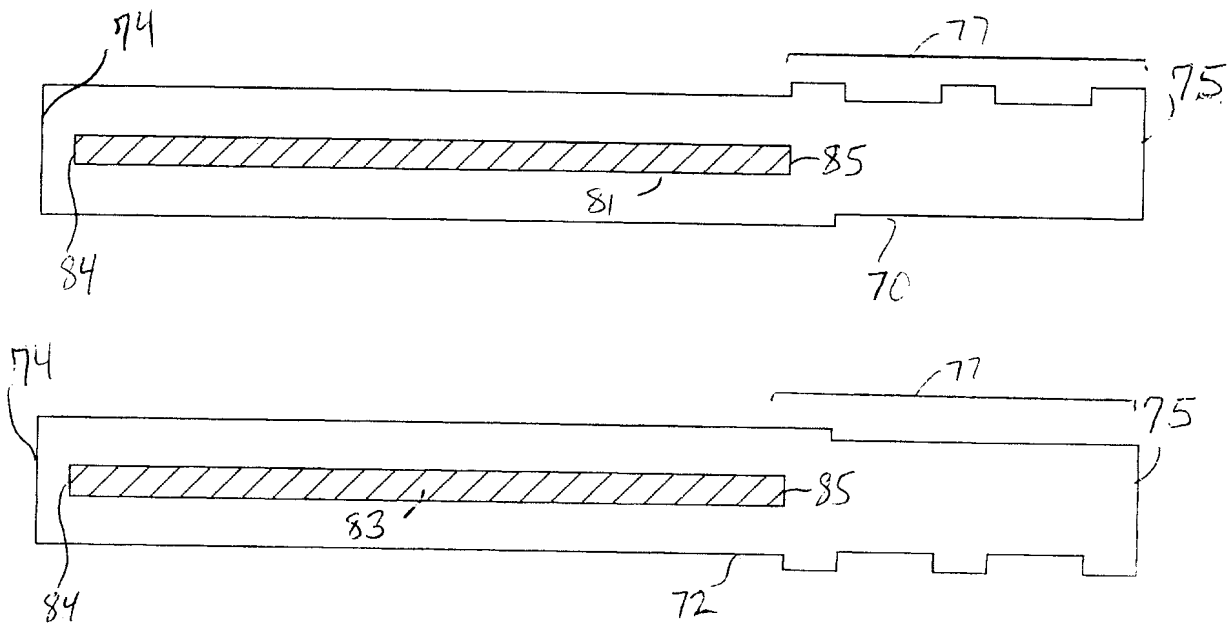


FIG. 5B



F15920C30323U(S1)  
4/13

FIG. 6

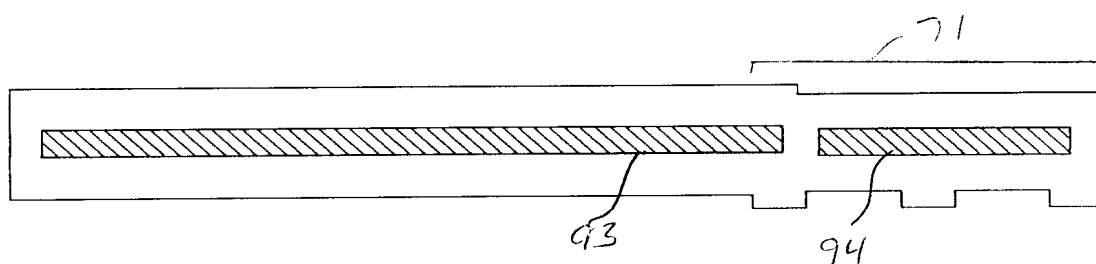
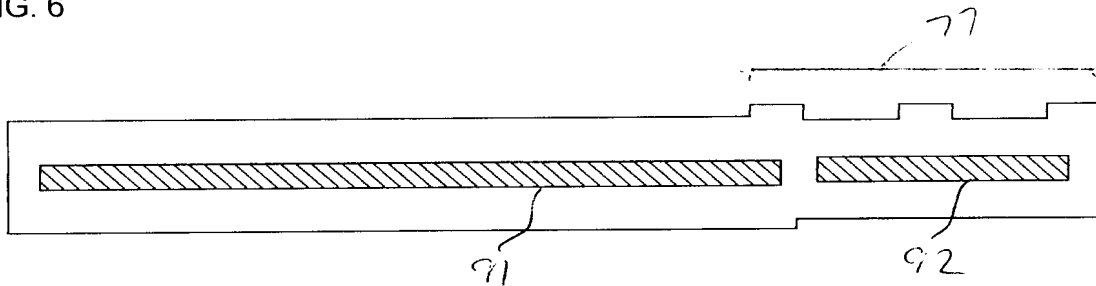
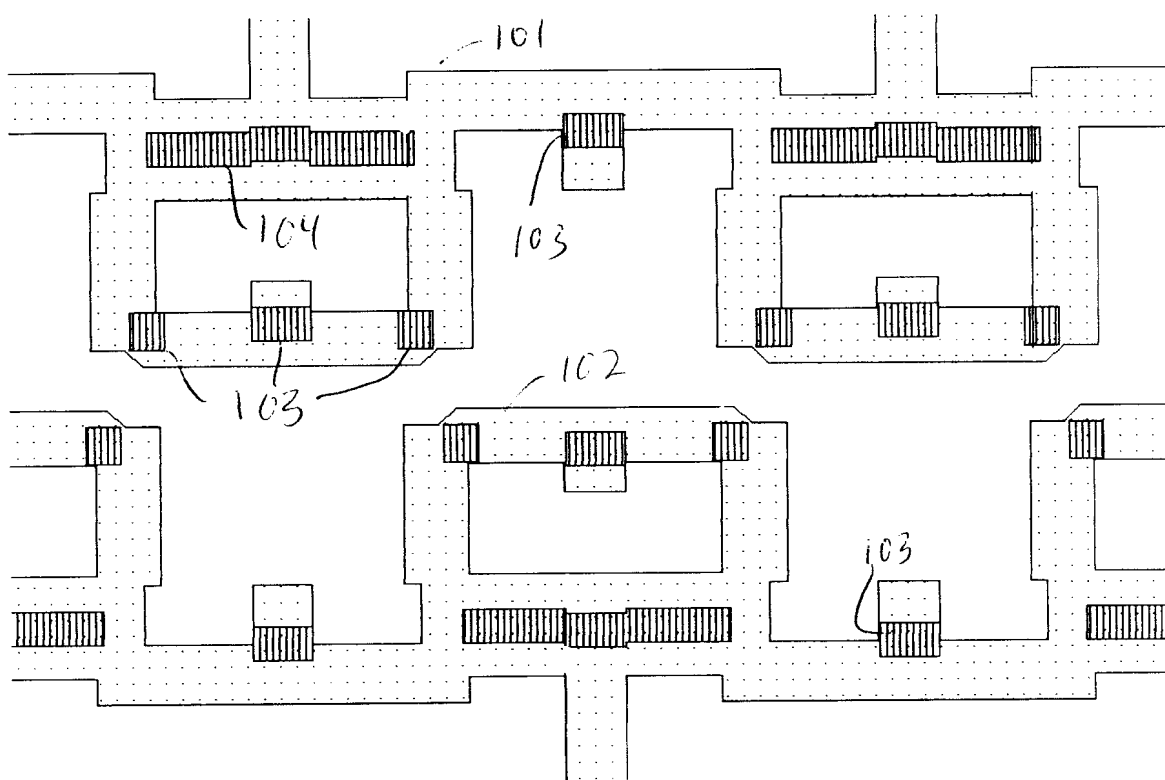


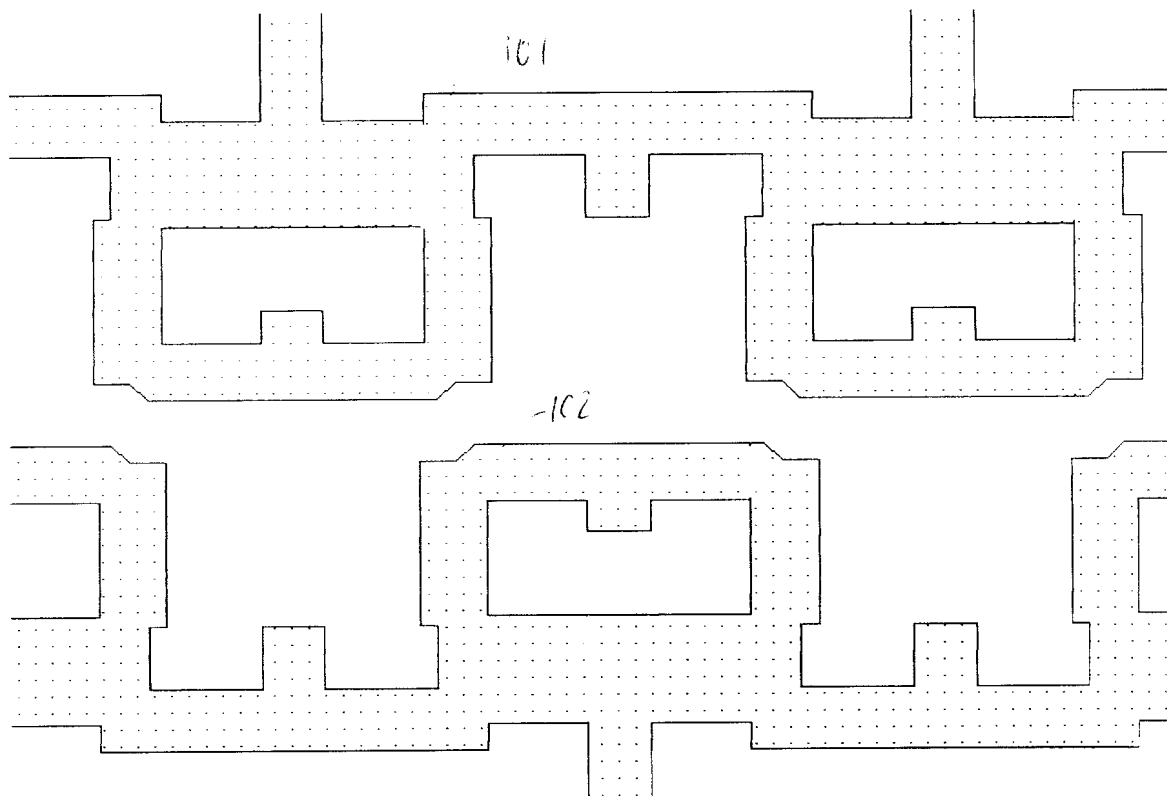
FIG. 7



F1S920030323051

5/13

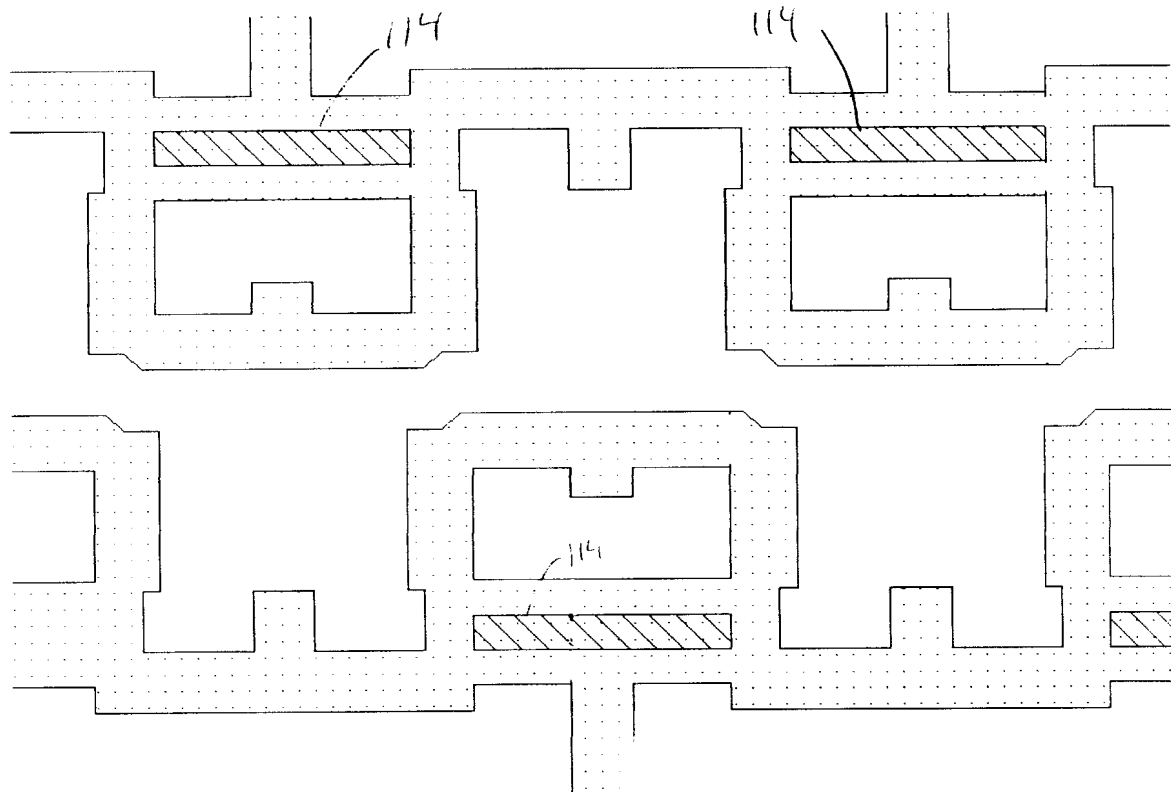
FIG. 8



F15920030323US1

6/13

FIG. 9



F15920030323US1  
7/13

FIG. 10

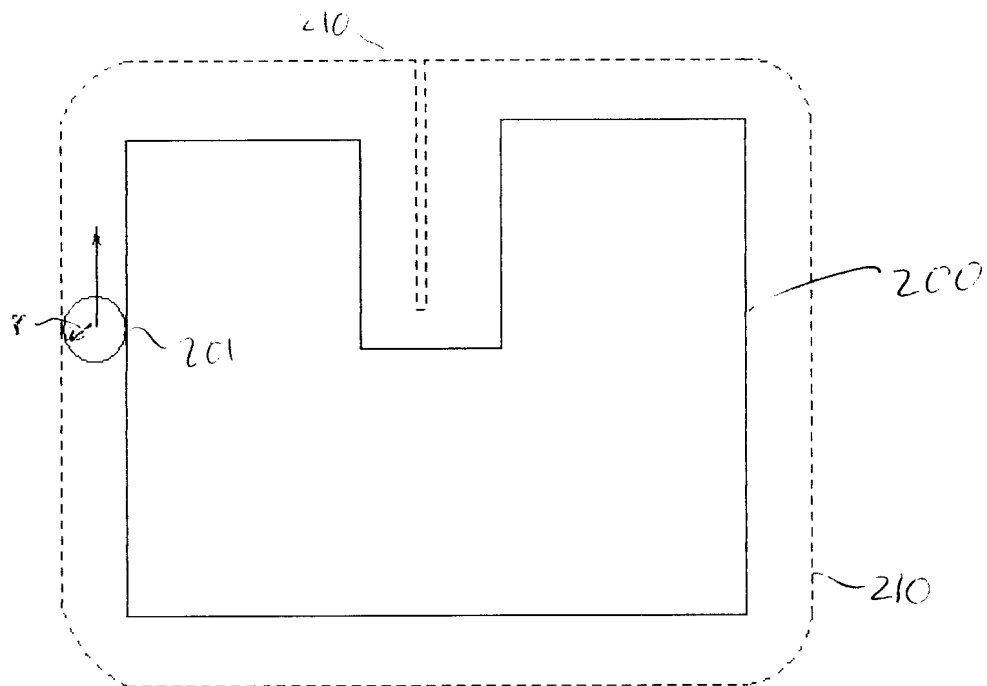
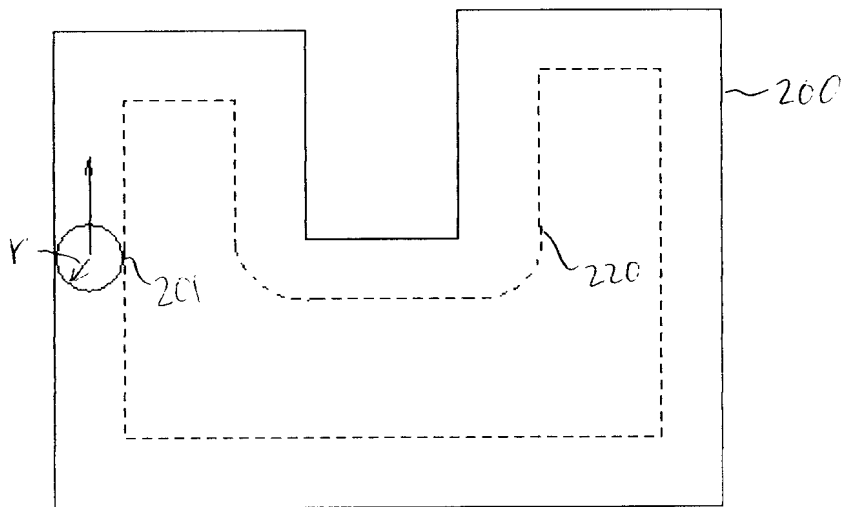


FIG. 11



F15920030 323US1

5/13

FIG. 12

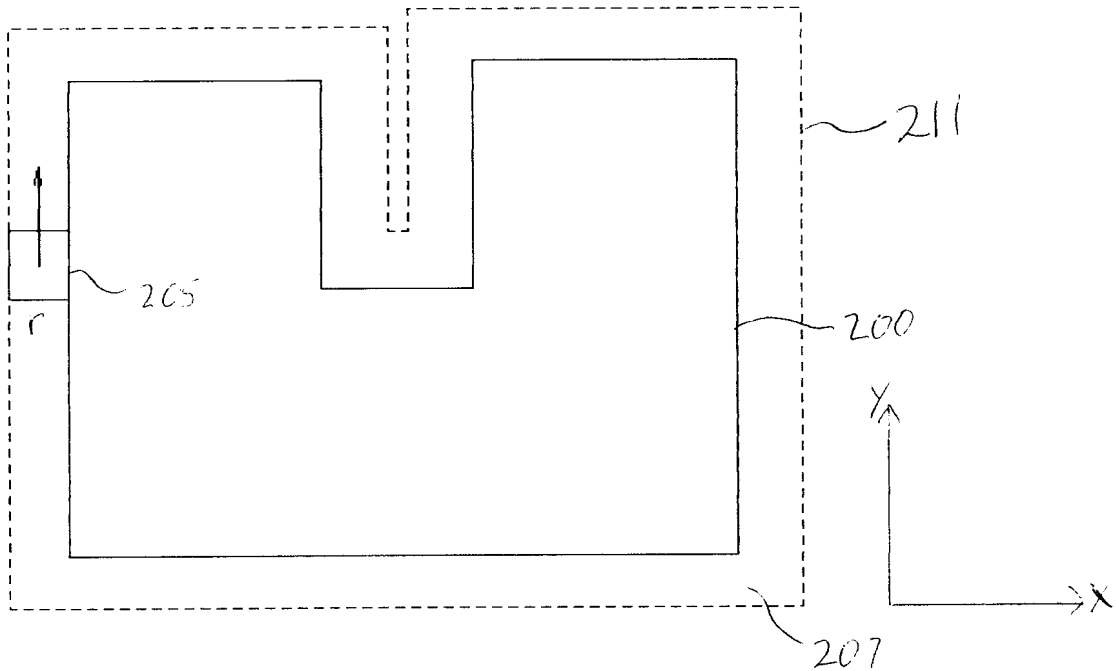
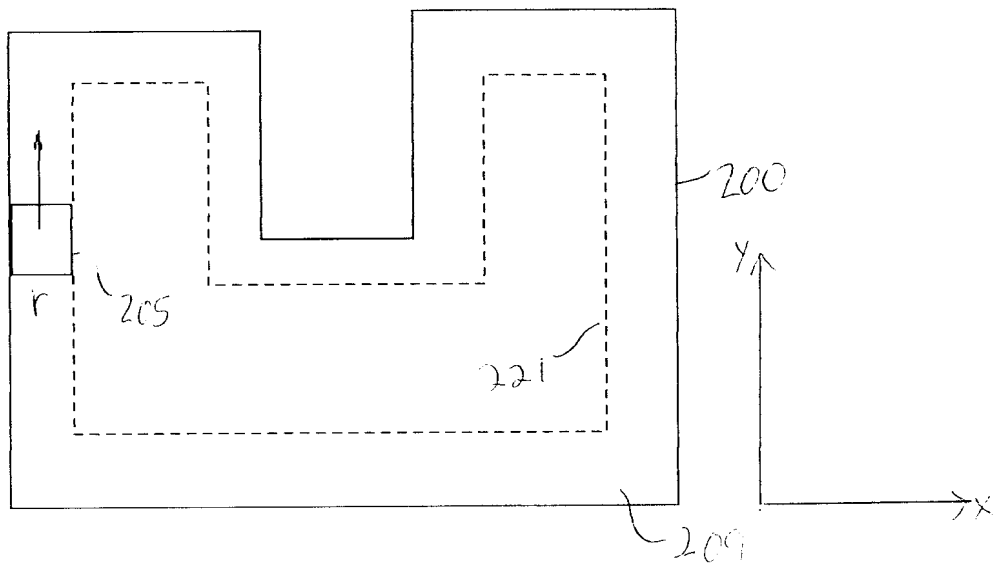
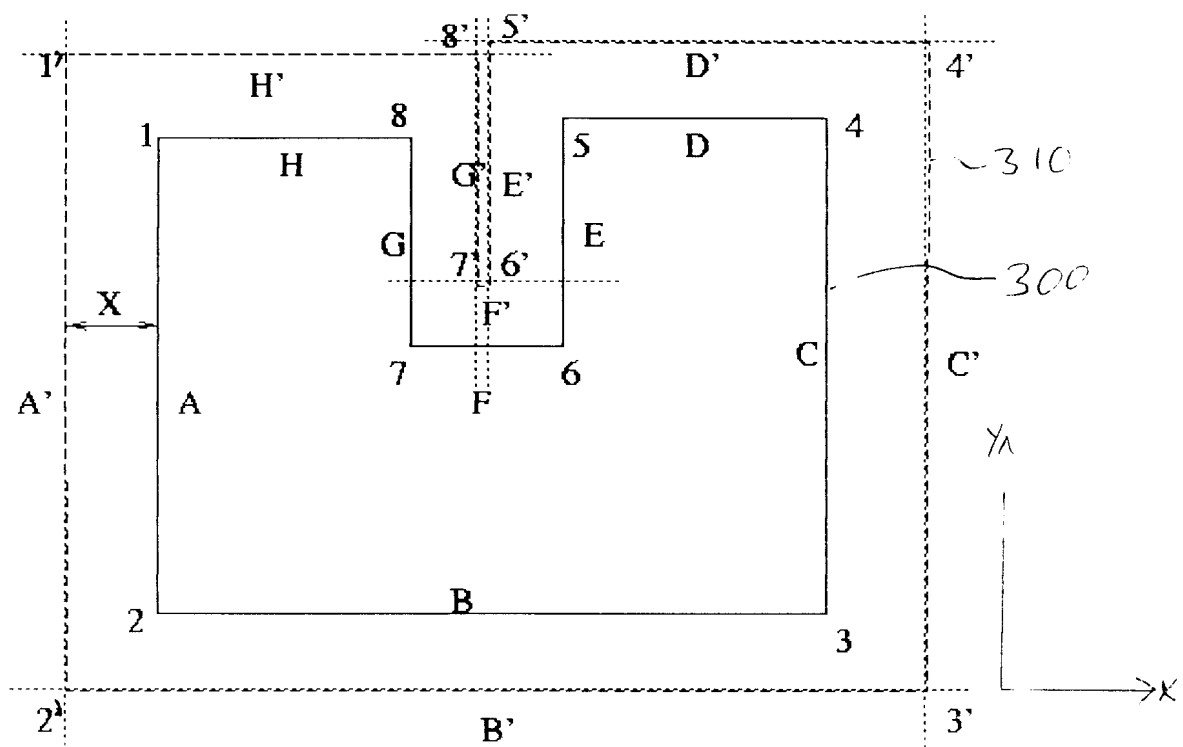


FIG. 13



15920030323051  
7/13

FIG. 14



F15920030323US1

10/13

FIG. 15

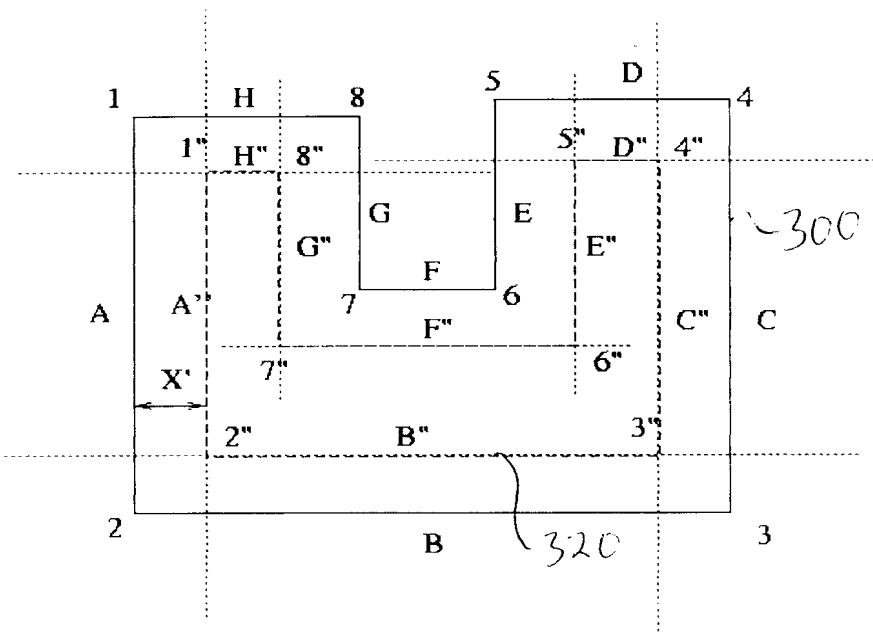
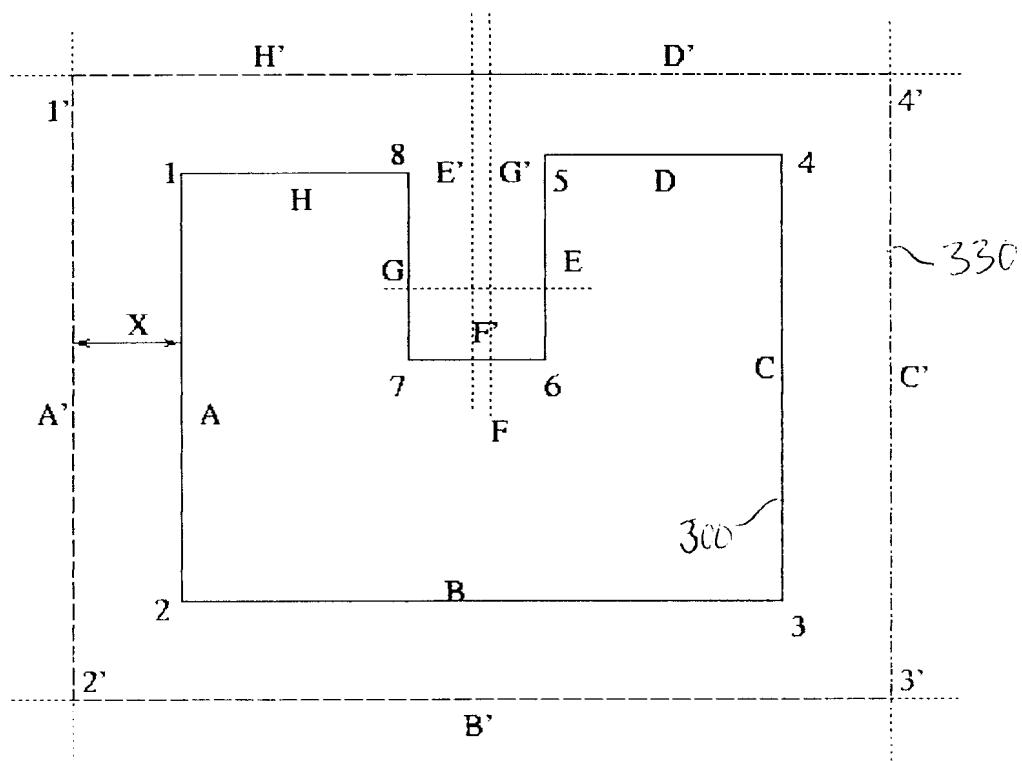


FIG. 16



F15920030323uS1

11/13

FIG. 17

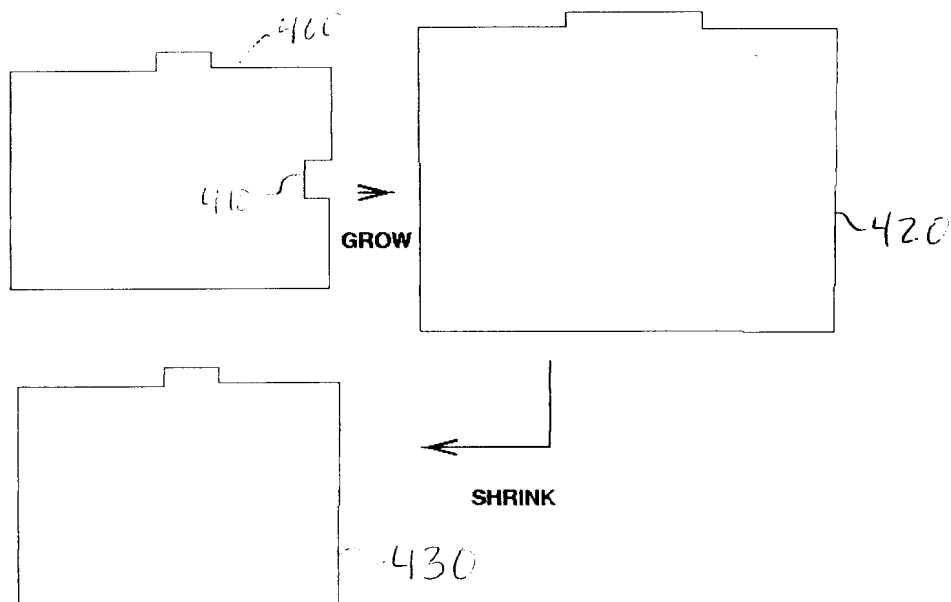
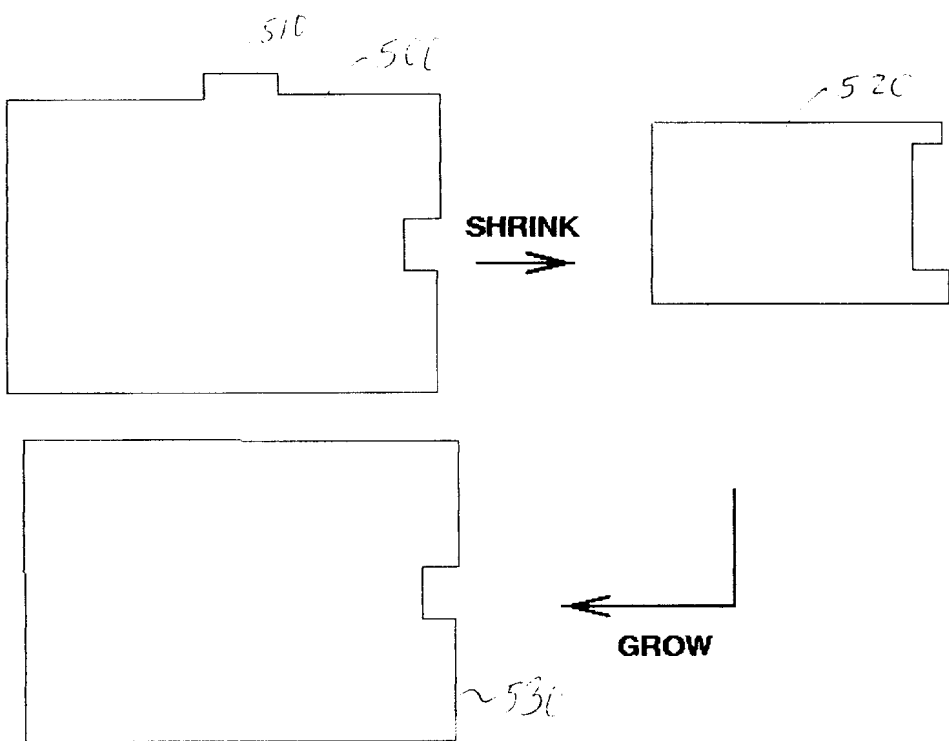
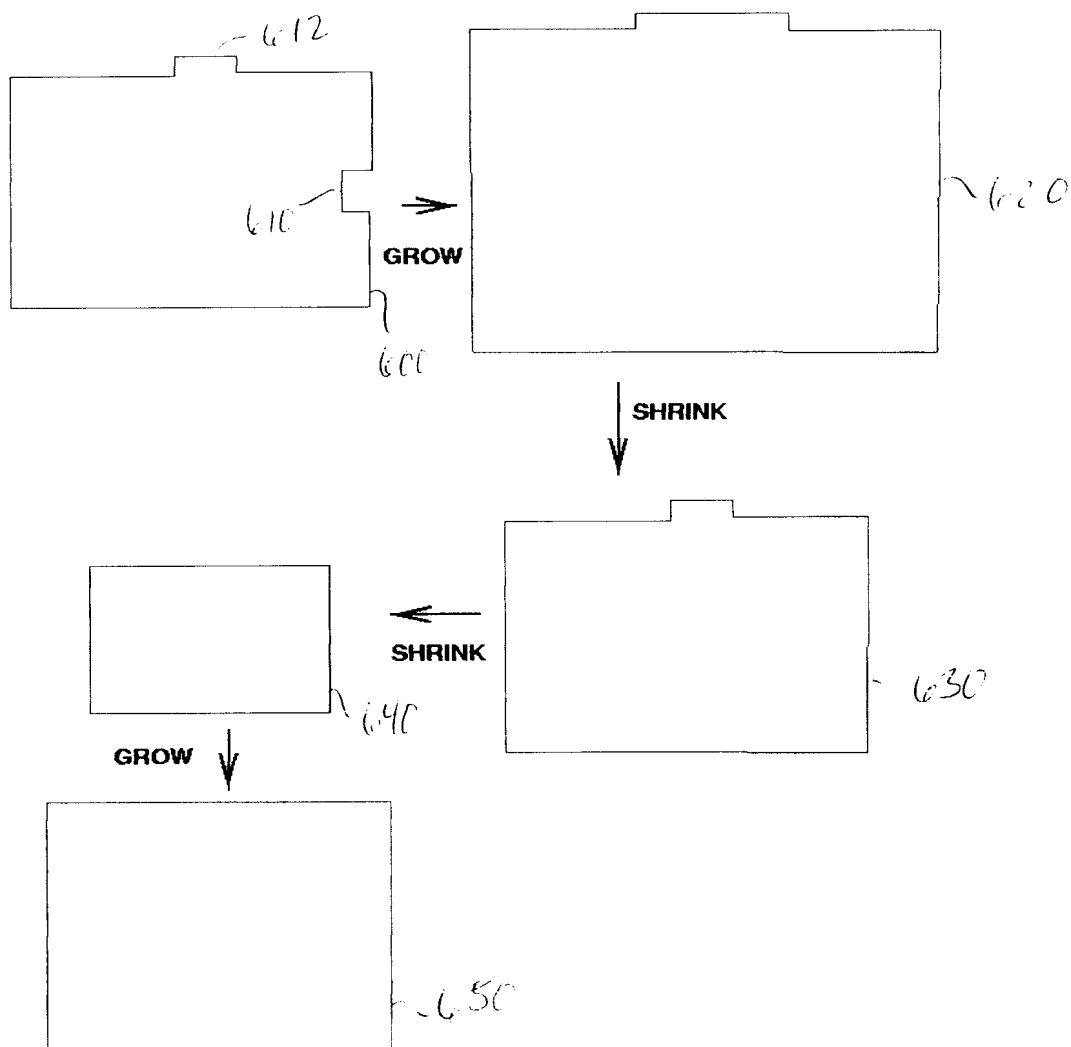


FIG. 18



F15920030323US1  
12/13

FIG. 19



15920030323651  
13/3

